УДК 547.979.733

## СИНТЕЗ ДИПИРРОЛЬНЫХ ФРАГМЕНТОВ ДЛЯ НАПРАВЛЕННОГО ПОЛУЧЕНИЯ МЕЗО-ЗАМЕЩЕННЫХ ХЛОРИНОВ

Н.В. Коновалова, ассистент, О.В. Мотова, студент кафедра Химии и технологии биологически активных соединений им. Н.А. Преображенского МИТХТ им. М.В. Ломоносова

e-mail: nadejda 73@mail.ru

существлен синтез дипиррольных структур, которые могут быть использованы для направленного получения несимметрично функционализированных хлориновых макроциклов.

**Ключевые слова:** дипирролилметаны, дипирролилметены, хлорины, синтез, фотосинтетические модельные системы

Поглощение солнечной энергии последующее ее преобразование, осуществляемое клетками в процессе фотосинтеза, является основой энергообеспечения жизнедеятельности всех живых организмов. Спектроскопические и теоретические исследования фотосинтетических процессов направлены образом на фундаментальное главным изучение фотофизических и фотохимических свойств биологических энергопреобразующих создание супрамолекулярных ансамблей для применения в молекулярной фотонике и оптоэлектронике [1–3].

В последние годы удалось синтезировать молекулярные системы, успешно имитистадии рующие некоторые природного превращения солнечной энергии [4-6]. Выбор пигментов, доноров и акцепторов создания таких модельных систем основан на их спектральных свойствах, определяемых энергетическими параметрами возбужденных состояний. При этом оптимальными компонентами являются хромофоры, родственные в природном участвующим фотосинтезе пигментам.

В настоящее время широко распространен

синтез фотосинтетических модельных систем с порфириновыми хромофорами [7–9], тогда искусственных хлоринсодержащих донорно-акцепторных систем получено относительно немного. Это обусловлено степенью доступности исходных разной соединений с необходимыми функциональными группами - «строительных блоков». Многие порфирины широко доступны и могут быть легко синтезированы, в то время как подходящих хлориновых соединений известно довольно мало. Несмотря на структурную схожесть, хлорины отличаются от порфиринов спектральными и электронными свойствами. Поскольку основными структурными фотосинтетических компонентами являются хлорины, представляется целесообразным использование этих макроциклов для построения на их основе супрамолекулярных энергопреобразующих ансамблей. Одной из актуальных задач в этой связи является разработка методов направленного синтеза хлоринов с набором подходящих циональных групп, необходимых для дальнейшей конденсации с донорными и/или акцепторными фрагментами.

$$R^1$$
 $N$ 
 $N$ 
 $R^2$ 
 $R^3$ 

мезо-замещенный

β-замещенный

Рис. 1. Идеальные хлориновые «строительные блоки» [10].

Идеальные хлориновые «строительные блоки» должны иметь следующие отличительные структурные особенности (рис. 1) [10]: 1) геминальную диметильную группировку, которая блокирует восстановленное хлориновое кольцо, препятствуя дегидрированию; 2) набор определенным образом расположенных периферических заместителей в мезо- и/или β-положениях, которые служат синтетическими мостиками для присоединения других компонент; 3) отсутствие заместителя в мезо-положении, соседнем с геминальной диметильной группировкой, чтобы избежать стерических затруднений, которые искажают макроцикл. Такие хлориновые «строительные блоки», несмотря на

значительные усилия в развитии синтеза хлоринов, остаются пока недоступными.

Рациональный метод синтеза хлоринов, разработанный Баттерсби и соавт. [11], включает стадии кислотно-катализируемой конденсации двух дипиррольных фрагментов с образованием дигидробилена а и последующей окислительной циклизации последнего в хлорин. Для синтеза хлорина с двумя мезо-арильными заместителями, можно использовать в качестве мостиков для объединения с другими макроциклами при построении модельной системы, Линдсеем [10] предложена модификация метода Баттерсби (схема 1):

Схема 1. Получение мезо-замещенного хлорина по методу Линдсея [10].

Целью данной работы являлся синтез дипиррольных структур III и VII, которые могут быть использованы для направленного получения несимметрично функционализированных хлориновых макроциклов по методу Линдсея. В качестве исходного соединения в синтезе дипиррольного

фрагмента **III** (схема 2) использовали 5-(4нитрофенил)дипирролилметан **I**, который получали конденсацией *n*-нитробензальдегида с избытком пиррола в соотношении 1:33 в присутствии каталитического количества трифторуксусной кислоты при комнатной температуре [12].

Схема 2. Синтез дипиррольного фрагмента III.

В качестве побочных продуктов реакции возможно образование «смещенного» мезо-(4нитрофенил)-α,β-дипирролилметана, трипиррана и различных высших олигомеров, что обусловливает необходимость хроматографической очистки целевого продукта и может приводить к заметному снижению его выхода. С целью оптимизации условий образования дипирролилметанов в работе [12] было проведено исследование влияния различных факторов (соотношения пиррол-бензальдегид, типа и количества катализатора) на конечное распределение продуктов. Высокие выходы достигаются при использовании в качестве катализатора трифторуксусной кислоты или эфирата трехфтористого бора в количестве 0.1 моль, однако применение последнего приводит к большему содержанию в реакционной смеси побочного α,β-дипирролилметана, что затрудняет процесс очистки. Поэтому в качестве катализатора в реакции образования дипирролилметана I нами была выбрана трифторуксусная кислота.

Соединение І выделяли осаждением из реакционной смеси и перекристаллизовывали из этанола. Выход составил 82.3% в расчете на бензальдегид. Полученный дипирролилметан I охарактеризован данными ИК- и <sup>1</sup>H-ЯМРспектроскопии. В ИК-спектре соединения I отмечены полосы поглощения, характерные для валентных колебаний NH-группы пиррола (3375 см<sup>-1</sup>) и нитрогруппы (1510, 1375 см<sup>-1</sup>). В  $^{1}$ H-ЯMP-спектре наблюдаются три мультиплетных сигнала при 6.75, 6.19 и 5.88 м.д., относящихся к протонам пиррольных колец; два дублета при 8.17 и 7.38 м.д. с интегральной интенсивностью по 2 протона, соответствующие мета- и орто-протонам замещенного бензольного кольца; синглет от протона в мезо-положении дипирролилметана при 5.59 м.д. и уширенный синглет при 7.99 м.д., характерный для протона NH-группы.

В ходе реакции ацилирования мезозамещенных дипирролилметанов со свободными ос-положениями хлорангидридами кислот может образовываться смесь моно- и диацильных производных. Поэтому для получения 1бензоил-5-(4-нитрофенил)дипирролилметана III более эффективным представлялся метод селективного моноацилирования, описанный в работе [13], который заключается в обработке соединения I этилмагнийбромидом и пиридилтиоэфиром II в эквимольных количествах в инертной атмосфере при охлаждении до -78°C (схема 2). Для получения пиридилтиоэфира II бензоилхлорид вводили в конденсацию с 2меркаптопиридином соответствии В стандартной методикой [13]. Структура полученного соединения **II** была подтверждена данными ИК- и <sup>1</sup>H-ЯМР спектроскопии.

При подборе молярного соотношения в реакции моноацилирования реагентов важным фактором является полное расходование пиридилтиоэфира, так как его трудно хроматографически отделить от целевого моноацилированного дипирролилметана. Конденсация дипирролилметана (1.0 М, 1 экв.), предварительно активированного 1.0 М раствором этилмагнийбромида (2.5 экв.), с пиридилтиоэфиром (1 экв.) привела образованию моноацилированного продукта с выходом 10%. При этом в реакционной смеси оставалось большое количество непрореагировавшего дипирролилметана и содержались другие побочные продукты. С целью увеличения выхода моноацилированного дипирролилметана изменяли мольное соотношение и последовательность прибавления реагентов, температуру и продолжительность стадии активации.

Однако это не дало желаемых результатов: во всех опытах в реакционной смеси помимо продуктов осмоления присутствовал исходный дипирролилметан, незначительное количество моноацилированного дипирролилметана, а также большое число побочных продуктов.

Ввиду того, что ацилирование дипирролилметана данным методом не позволило получить соединение **III** с хорошим выходом, в качестве альтернативного подхода для его синтеза была использована реакция ацилирования по Фриделю-Крафтсу (схема 2). Обработка раствора дипирролилметана **I** в нитрометане бензоилхлоридом в присутствии кислоты Льюиса — хлорида алюминия — при охлаждении до 0 °C дала моноацилированный дипирролилметан **III** с выходом 33.5%.

Помимо соединения III в реакционной смеси присутствовало диацильное производное и незначительное количество исходного дипирролилметана. Преимущественное образование продуктов ацилирования по свободным а-положениям дипирролилметана обусловлено тем, что а-атомы углерода в пиррольных кольцах более склонны к электрофильной атаке карбокатиона, чем В-углеродные атомы. Отсутствие в реакционной смеси продуктов ацилирования по бензольному кольцу дипирролилметана объясняется наличием в нем электроноакцепторной нитрогруппы. Использование эквимольных количеств дипирролилметана и бензоилхлорида и принципа концентрационного разбавления позволяет понизить выход побочного диацильного производного.

Полученный моноацилированный дипирролилметан III охарактеризован данными ИКи <sup>1</sup>H-ЯМР-спекроскопии. В ИК-спектре помимо полос, характерных для исходного дипирролилметана, появляется полоса поглощения валентных колебаний карбонила при 1603 см<sup>-1</sup>. Наблюдаемый сдвиг карбонильного поглощения на ~100 см<sup>-1</sup> в область низких частот по сравнению с его обычным положением в спектрах ароматических кетонов можно объяснить образованием внутримолекулярной водородной связи между атомом кислорода карбонильной группы и атомом водорода NH-группы ближайшего к ней пиррольного кольца. Об этом же свидетельствует уменьшение частоты валентных колебаний NH-связи до  $3273~{\rm cm}^{-1}$  по сравнению с соответствующей полосой в спектре незамещенного пиррола, которая проявляется в области  $\sim 3500~{\rm cm}^{-1}$  [14, 15].

В <sup>1</sup>Н-ЯМР-спектре соединения **III** из-за потери симметрии молекулы происходит удвоение сигналов протонов пиррольных колец по сравнению с исходным дипирролилметаном и появление сигналов, характерных для протонов монозамещенного бензольного кольца (рис. 2).

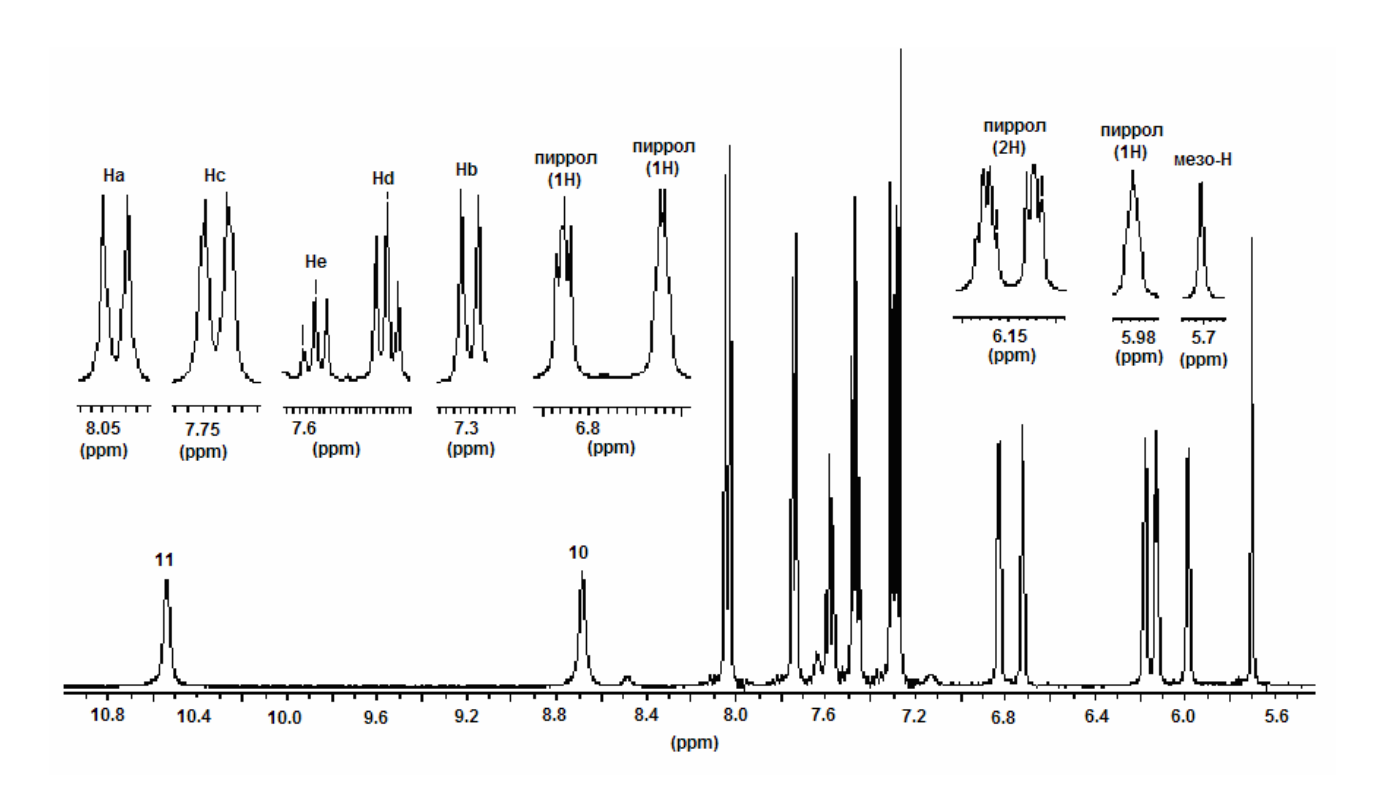


Рис. 2. <sup>1</sup>H-ЯМР-спектр моноацилированного дипирролилметана III в CDCl<sub>3</sub>.

Синтезированное моноацилированное производное III является стабильным предшественником α-бромдипирролилметанкарбинола, который используют для получения хлоринов по методу Линдсея [10]. Кроме того, восстановление карбонильной группы в соединениях типа III и последующая самоконденсация позволяют получать с высоким выходом *транс*-замещенные порфирины [16].

Для синтеза дипиррольного соединения VII (схема 3) первоначально получали 2-(2-*транс*-нитровинил)пиррол IV нитро-альдольной конденсацией нитрометана в качестве СН-кислотного компонента с 2-формилпирролом (карбонильным компонентом) в присутствии каталитических количеств гидрохлорида метиламина с последующим отщеплением воды.

СН-кислоты, в том числе и нитросоединения, имеющие в α-положении к функциональной группе атом водорода, обычно не обладают основными свойствами, однако в присутствии сильных оснований они переходят в реакционноспособную форму енолят-аниона, обладающую достаточной нуклеофильной активностью для присоединения к карбонильному компоненту (в данном случае к альдегиду). Отсутствие протонов в α-положении альдегида исключает возможность протекания конкурирующей реакции альдольной конденсации и способствует направленному синтезу соединения **IV**. Выход продукта составил 40.6 %.

Структура соединения IV подтверждена данными ИК- и  $^1$ H-ЯМР-спектроскопии. В ИК-спектре соединения IV наблюдаются полосы

поглощения, соответствующие валентным колебаниям NH-группы пиррола (3272 см $^{-1}$ ) и нитрогруппы (1517 и 1347 см $^{-1}$ ), а также полоса поглощения валентных колебаний С=Ссвязи, сопряженной с пиррольным кольцом, при 1604 см $^{-1}$ . В спектре  $^{1}$ H-ЯМР соединения **IV** 

наряду с сигналами протонов пиррольного кольца в области 6.4–7.2 м.д. имеются сигналы протонов замещенной винильной группы в виде дублетов с константой спин-спинового взаимодействия 13.2 Гц, что указывает на *транс*-конфигурацию двойной связи.

Схема 3. Синтез дипиррольного соединения VII.

Соединение IV восстанавливали избытком боргидрида натрия в смеси ТГФ-метанол до 2-(2-нитроэтил)пиррола V. Восстановление гидроборатом происходит за счет переноса гидрид-иона на электронодефицитный центр субстрата. Группы с избытком электронов, в том числе алкены с изолированной двойной связью, инертны по отношению к боргидриду натрия. Однако если связи -С=С- сопряжены с электроноакцепторными группами, способными стабилизировать анион (такими как COR, COOR, CN, NO<sub>2</sub> и др.), то может происходить их восстановление [17, 18]. Таким образом, применение боргидрида натрия в качестве мягкого восстанавливающего агента позволяет селективно (не затрагивая нитрогруппу) восстановить двойную связь в соединении **IV**. Восстановление сопряженных нитроолефинов боргидридом натрия сопровождается побочными реакциями присоединения Михаэлю (присоединение продукта восстановления к исходному нитроалкену) с образованием 1,3-динитроалкана и высших олигомеров. Для минимизации побочных реакций восстановление проводят прибавлением субстрата к раствору боргидрида натрия при пониженной температуре [18]. После хроматографической очистки выход соединения  $\mathbf{V}$  составил 62.6%.

Структура соединения V подтверждена данными ИК- и <sup>1</sup>Н-ЯМР-спектроскопии. В спектре <sup>1</sup>Н-ЯМР появляются два сигнала в виде триплетов при 4.61 и 3.33 м.д. характерные для протонов нитроэтильной группы, и отсутствуют дублеты при 7.98 и 7.46 М.Д., соответствующие нитровинильной группы. Поскольку соединении V пиррольное кольцо сопряжено с нитрогруппой, в спектре <sup>1</sup>Н-ЯМР происходит смещение сигналов протонов пиррольного кольца в область сильного поля  $(\Delta \delta \sim 0.4 \, \text{м.д.})$  по сравнению с положением сигналов соответствующих протонов спектре соединения IV. По этой же причине в ИК-спектре соединения  $\mathbf{V}$ наблюдается увеличение частоты валентных колебаний CM<sup>-1</sup> NH-группы пиррола до 3422 сравнению с соответствующей полосой в спектре соединения IV. Деформационные колебания -СН2-групп проявляются при 1430 см-1, что несколько меньше характеристической частоты деформационных колебаний  $CH_2$ -групп в алифатических соединениях (1460-1470 см $^{-1}$ ). Это связано с наличием в непосредственной близости электроотрицательной  $NO_2$ -группы [19]. Частоты валентных колебаний нитрогруппы составляют 1545.5 и 1381 см $^{-1}$ , что согласуется с литературными данными [14, 15].

Для получения производного VI проводили конденсацию по Михаэлю - 1,4присоединение соединения с активной метиленовой группой к двойной связи α,βнепредельного карбонильного соединения. 2-(2-нитроэтил)пиррола Конденсацию метиленового компонента, с окисью мезитила, карбонильным компонентом, осуществляли в присутствии основного катализатора фторида цезия. Использование данного катализатора, как было показано в работе [10], позволяет повысить выход и облегчить процесс очистки соединения VI. Наряду с 1,4присоединением в качестве побочной реакции возможно 1,2-присоединение, однако наличие объемистых заместителей при α-углеродном

атоме енолят-аниона и при карбонильной группе енона способствуют образованию продукта 1,4-присоединения. Выход продукта VI после хроматографической очистки составил 55%.

В ИК-спектре соединения VI помимо характеристических полос поглощения NO2группы присутствует полоса поглощения карбонильной группы при 1712 см<sup>-1</sup>, что свидетельствует об образовании продукта 1,4присоединения. Структуру соединения VI также подтверждают данные <sup>1</sup>H-ЯМР спектра, в котором исчезают триплеты замещенной этильной группы исходного нитроэтилпиррола и появляются три сигнала в виде дублета дублетов при 5.13, 3.35 и 3.04 м.д., которые были приписаны неэквивалентным протонам фрагмента СН<sub>2</sub>СНNО<sub>2</sub>. Кроме того, в спектре имеются два дублета при 2.61 и 2.42 м.д. от протонов метиленовой группы в составе фрагмента -СН<sub>2</sub>СОСН<sub>3</sub> и три синглета при 2.15, 1.26 и 1.13 м.д. с интегральной интенсивностью по 3 протона, характерные для метильных групп (рис. 3).

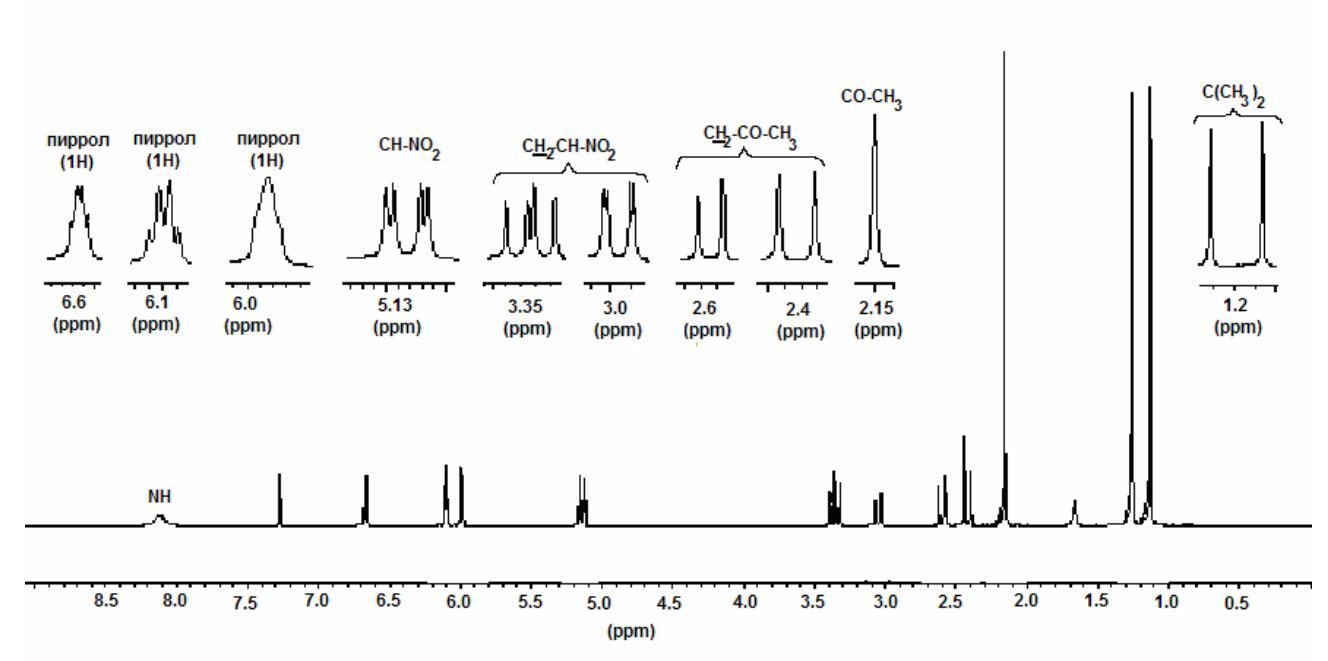


Рис. 3. <sup>1</sup>H-ЯМР-спектр соединения VI в CDCl<sub>3</sub>.

Тетрагидродипирролилметен VII получали по реакции МакМурри. Для этого замещенный гексанон VI обрабатывали сначала метилатом натрия для образования нитронат-аниона (схема 4), а потом буферным раствором хлорида титана при рН ~6, что привело к внутримолекулярной циклизации. Дальнейшее восстановление связи N=O и дегидратация дали целевой дипирролилметен.

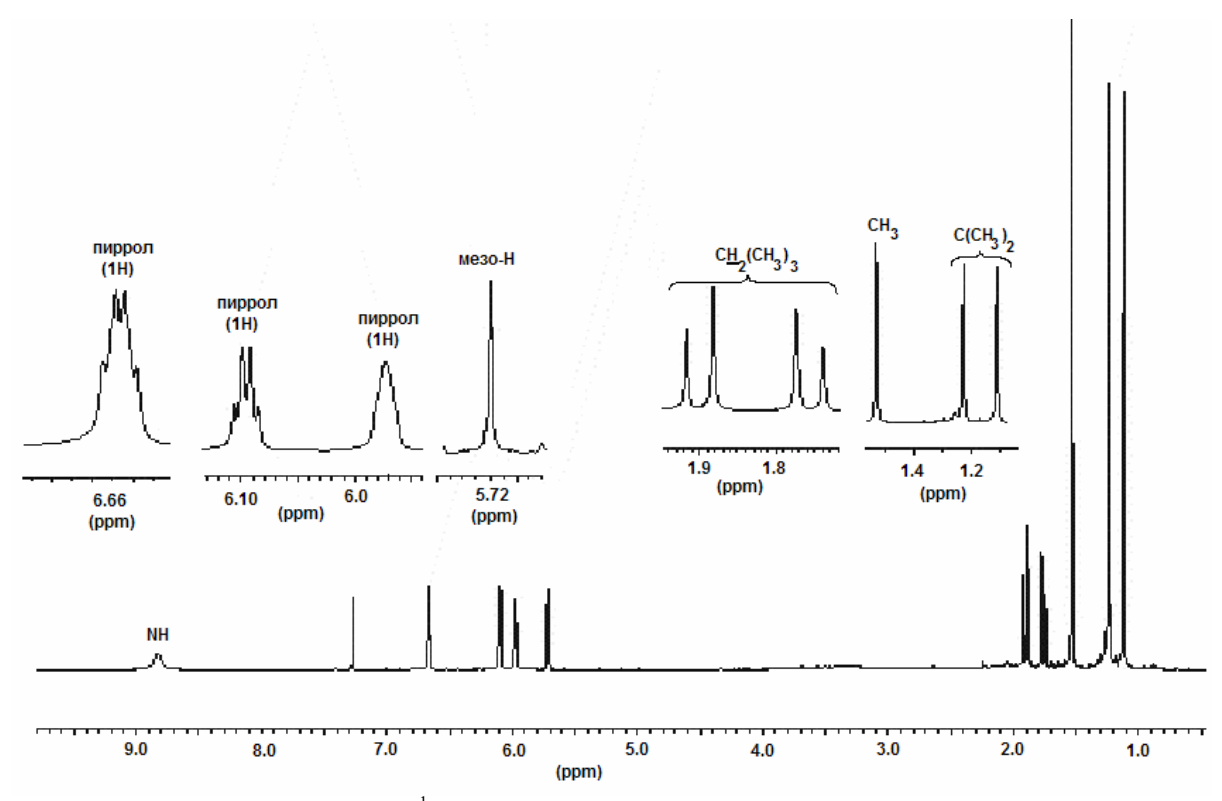
Выход соединения VII составил 37.5%.

Структура подтверждена данными ИК- и <sup>1</sup>Н-ЯМР-спектроскопии. В ИК-спектре наблюдаются сигналы валентных колебаний группы NH при 3385 см<sup>-1</sup> и связи С=N при 1690 см<sup>-1</sup>. В <sup>1</sup>Н-ЯМР-спектре (рис. 4) помимо сигналов, характерных для протонов пиррольного кольца, появляются два дублета при 1.90 и 1.76 м.д., соответствующие протонам пирролидинового кольца, и синглет при 5.72 м.д. от *мезо*-протона в составе метенового

мостика. Наряду с этим в спектре отсутствуют сигналы протонов от фрагментов  $CH_2CHNO_2$  и  $-CH_2CO$  исходного гексанона VI, а синглет

при 2.15 м.д., характерный для  $\alpha$ -метильной группы, смещается в область сильного поля на 0.62 м.д.

Схема 4. Механизм реакции получения тетрагидродипирролилметена VII.



Puc. 4. <sup>1</sup>H-ЯМР-спектр соединения VII в CDCl<sub>3</sub>.

Соединение **VII** является неустойчивым и даже при хранении под аргоном при -4 °C в течение нескольких дней превращается в другой продукт, в  $^1$ H-ЯМР-спектре которого отсутствует сигнал *мезо*-протона метенового мостика, а в ИК-спектре исчезает полоса валентных колебаний связи C=N.

Эти спектральные изменения, а также литературные данные [20] позволяют предположить, что происходит внутримолекулярная

перегруппировка с образованием трициклической системы — 5-аза-1,3,3-триметил-6-(пиррол-2-ил)бицикло[2.1.1] гекс-4-ена **VIII**.

Из-за возможности протекания быстрой перегруппировки соединение VII следует сразу после выделения вводить в конденсацию с другим дипиррольным фрагментом.

Таким образом, нами осуществлен синтез дипиррольных предшественников, которые могут быть использованы для направленного синтеза несимметрично функционализированных хлоринов.

Данная работа выполнена при финансовой поддержке Федерального агентства по науке и инновациям (грант Президента Российской Федерации для государственной поддержки молодых российских ученых № МК-4668.2007.3).

## Экспериментальная часть

работе использованы растворители фирмы «Химмед», 2-формилпиррол и хлорид титана (>10 вес.% TiCl<sub>3</sub> в 20-30 вес.% HCl) фирмы Aldrich Chemical Co., остальные реактивы фирмы Fluka. Реакции осуществляли безводных растворителях. Хлористый метилен сушили И перегоняли прокаленным хлористым кальцием, дополнительно перегоняли над гидридом кальция. Пиррол и бензоилхлорид перегоняли в вакууме в атмосфере инертного газа. Безводный ацетонитрил получали двукратной перегонкой над пятиокисью фосфора и последующей перегонкой над гидридом кальция, хранили над молекулярными ситами. Тетрагидрофуран хранили над щелочью и перегоняли над натрием с бензофеноном в атмосфере аргона. Метанол перегоняли над магниевой стружкой.

Индивидуальность полученных соединений и ход реакций контролировали методом ТСХ на пластинках Sorbfil (Россия) в системах растворителей: гексан — этилацетат, 3:1 (A), 2:1 (Б); на пластинках Kieselgel 60 (Merck) в системах: гексан — хлористый метилен, 1:2 (В), хлористый метилен (Г); на пластинках Alufol 60  $F_{254}$  (Merck) в системе: гексан — хлористый метилен, 1:2 (Д).

Очистку полученных веществ проводили колоночной хроматографией на силикагеле Merck 60 (0.040-0.063 мм) (Германия) и окиси алюминия II степени активности (Россия).

Температуру плавления определяли на приборе Boetius (Германия).

Электронные спектры регистрировали на спектрофотометре Jasco UV-7800 (Япония), ИК-спектры соединений **II, III, IV, V, VI, VII** – на приборе Equinox-55 фирмы Bruker

(Германия) в пленке, соединения I — на спектрофотометре Shimadzu IR-435 (Япония) в вазелиновом масле. <sup>1</sup>H-ЯМР-спектры соединений I, III, VI, VII были записаны на спектрометре Bruker MSL400 (Германия) с рабочей частотой 400 МГц, соединений II, IV, V — на спектрометре Bruker AM300 (Германия) с рабочей частотой 300 МГц. <sup>1</sup>H-ЯМР-спектры получены для растворов веществ в CDCl<sub>3</sub> с использованием в качестве внутреннего стандарта тетраметилсилана.

5-(4-Нитрофенил)дипирролилметан (I). К n-нитробензальдегиду (1.64 г, 10.9 ммоль) прибавляют 25 мл (0.361 моль) свежеперегнанного пиррола. В атмосфере аргона раствор перемешивают в течение 10 мин, после чего добавляют 0.08 мл (1.09 ммоль) трифторуксусной кислоты и перемешивают еще 30 мин. Ход реакции контролируют ТСХ на сорбфиле в системе гексан-этилацетаттриэтиламин, 80:20:1. Непрореагировавший пиррол удаляют в вакууме при нагревании не выше 50°C до образования темно-коричневой маслянистой массы. Затем ее перерастворяют в смеси CH<sub>2</sub>Cl<sub>2</sub> (55 мл) и гексана (25 мл) и отгоняют в вакууме без нагревания до начала образования кристаллов (для более полной кристаллизации смесь оставляют на сутки в холодильнике). Образовавшиеся желтые крисотфильтровывают, перекристаллиталлы зовывают из этанола и сушат в глубоком вакууме. Выход: 2.39 г (82.3%).  $R_f$  0.54 (A). Т. пл. 158-160 °C (159-160 °C [12]). Электронный спектр (метанол,  $\lambda_{\text{макс}}$  нм): 222, 265.5. ИКспектр (вазелиновое масло, v, см<sup>-1</sup>): 3375 (NH пиррола), 1510 (NO<sub>2</sub>), 1375 (NO<sub>2</sub>). <sup>1</sup>H-ЯМРспектр ( $\delta$ , м.д): 8.17 (2H, д, J = 8.7 Гц, 2 мета-H Ph), 7.99 (2H, ушир. c, NH), 7.38 (2H, д, J =8.7 Гц, 2 *opmo*-H Ph), 6.75 (2H, м), 6.19 (2H, м), 5.88 (2H, м) (CH пиррола), 5.59 (1H, c, CH-PhNO<sub>2</sub>).

**2-Бензоилтиопиридин (II).** К раствору 2-меркаптопиридина (500 мг, 4.5 ммоль) в 25 мл СН<sub>2</sub>Сl<sub>2</sub> прибавляют раствор бензоилхлорида (0.520 мл, 4.5 ммоль) в 10 мл СН<sub>2</sub>Сl<sub>2</sub> и перемешивают 1 ч при комнатной температуре. Затем реакционную массу нейтрализуют 2 н. NаOH, промывают водой до нейтральной среды, экстрагируют СН<sub>2</sub>Сl<sub>2</sub>. Органическую фазу отделяют, сушат Na<sub>2</sub>SO<sub>4</sub>, растворитель удаляют в вакууме. Остаток в виде желтого масла перерастворяют в 1-2 мл этилацетата и 10 мл гексана и отгоняют в вакууме до начала образования кристаллов. Для более полной

кристаллизации смесь оставляют на сутки в холодильнике; выпавшие белые кристаллы отфильтровывают. Выход: 0.629 г (64%).  $R_f$  0.37 (Б). ИК-спектр (КВг, v, см $^{-1}$ ): 1675 (-C=O тиоэфира).  $^{1}$ Н-ЯМР-спектр ( $\delta$ , м.д): 8.69 (1H, ддд, J=4.9 Гц, J=1.9 Гц, J=0.9 Гц,  $C_{(6)}$ Н), 8.03 (2H, дд, J=8.5 Гц, J=1.3 Гц, J=0.9 Гц, J=1.3 Гц, J=1.3

## 1-Бензоил-5-(4-нитрофенил)-дипирролилметан (III).

**Метод I:** К перемешиваемому в атмосфере 5-(4-нитрофенил) дипираргона раствору ролилметана I (500 мг, 1.87 ммоль) в 2 мл ТГФ прибавляют по каплям 1.0 М раствор EtMgBr в  $T\Gamma\Phi$  (4.7 мл, 4.7 ммоль) в течение 5 мин. Смесь перемешивают при комнатной температуре 10 мин, затем охлаждают до -78 °C и в течение 5 мин прибавляют по каплям раствор 2-бензоилтиопиридина II (402 мг, 1.87 ммоль) в 2 мл ТГФ. Полученную реакционную массу перемешивают при -78 °C еще 15 мин, после чего, не удаляя охлаждающую баню, позволяют ей постепенно нагреться до комнатной температуры. После того как ТСХ показала отсутствие в реакционной массе пиридилтиоэфира, реакцию останавливают добавлением насыщенного водного раствора NH<sub>4</sub>Cl (25 мл). Далее реакционную массу разбавляют CH<sub>2</sub>Cl<sub>2</sub>, промывают водой, экстракт отделяют и сушат безводным Na<sub>2</sub>SO<sub>4</sub>, растворитель удаляют в вакууме. Остаток подвергают хроматографической очистке на колонке (15×200 мм) с силикагелем, элюируя системой растворителей с увеличением полярности от гексан – CH<sub>2</sub>Cl<sub>2</sub>, 1 : 2 до CH<sub>2</sub>Cl<sub>2</sub>. Выход: 0.070 г (10%).

Метод II: К охлажденной до 0 °С суспензии безводного хлорида алюминия (0.375 г, 2.81 ммоль) в 5 мл нитрометана прибавляют бензоилхлорид (0.32 мл, 1.87 ммоль) и перемешивают при охлаждении (0 °С) в течение 30 мин. После этого к реакционной смеси прибавляют по каплям раствор 5-(4-нитрофенил)дипирролилметана I (500 мг, 1.87 ммоль) в 10 мл нитрометана и перемешивают при комнатной температуре 40 мин. Далее реакционную смесь выливают в воду и экстрагируют CH<sub>2</sub>Cl<sub>2</sub>. Органическую

фазу отделяют, сушат Na<sub>2</sub>SO<sub>4</sub>, растворитель удаляют в вакууме. Остаток подвергают хроматографической очистке на колонке (15×200 мм) с силикагелем, элюируя системой растворителей с увеличением полярности от гексан - CH<sub>2</sub>Cl<sub>2</sub>, 1:4 до CH<sub>2</sub>Cl<sub>2</sub>. Продукт перекристаллизовывают из метанола. Выход: 0.233 г (33.5%). R<sub>f</sub> 0.38 (В). Т. пл.: 76-78 °С. ИК-спектр (КВr, v, см<sup>-1</sup>): 3273 (NH), 1603 (C=O в кетонах), 1518 (-NO<sub>2</sub>), 1347 (-NO<sub>2</sub>). <sup>1</sup>H-ЯМР-спектр (δ, м.д): 10.55 (1H, с, N<sub>(10)</sub>H), 8.68  $(1H, c, N_{(11)}H), 8.04 (2H, д, J = 8.7 \Gamma ц, 2 мета-$ H PhNO<sub>2</sub>), 7.74 (2H, д, J = 7.4 Гц, 2 opmo-H PhCO-), 7.58 (1H, т, J = 7.4 Гц, *napa*-H PhCO-), 7.46 (2H, т, J = 7.4 Гц, 2 мета-Н PhCO-), 7.30  $(2H, д, J = 8.7 \Gamma ц, 2 opmo-H PhNO<sub>2</sub>), 6.83 (1H,$ M), 6.72 (1H, M), 6.18 (1H, M), 6.12 (1H, M), 5.99 (1H, м) (СН пиррола), 5.70 (1H, c, CH-PhNO<sub>2</sub>).

2-(2-*транс*-Нитровинил)пиррол (IV). К раствору 2-формилпиррола (1 г, 10.5 ммоль) в 25 мл безводного метанола прибавляют в атмосфере аргона нитрометан (1.25 мл, 23.3 ммоль), гидрохлорид метиламина (0.715 г., 10.6 ммоль) и ацетат натрия (1.05 г, 12.8 ммоль), при этом раствор приобретает ярко окраску. Реакционную желтую перемешивают 16 ч в атмосфере аргона, после чего выливают в воду (50 мл) и экстрагируют CH<sub>2</sub>Cl<sub>2</sub>  $(3\times50$ мл). Органическую фазу отделяют, сушат Na<sub>2</sub>SO<sub>4</sub>, растворитель удаляют в вакууме без нагревания. Остаток пропускают через слой силикагеля (30×50 мм), элюируя CH<sub>2</sub>Cl<sub>2</sub>. Выход:  $0.59 \Gamma (40.6\%)$ .  $R_f$ 0.51 (Г). Т. пл.: 112-114 °С (112-114 °С [10]). Электронный спектр (бензол,  $\lambda_{\text{макс.}}$  нм): 383. ИК-спектр (КВr, v, см<sup>-1</sup>): 3272 (NH), 1604 (C=C сопряж.), 1517 (-NO<sub>2</sub>), 1347 (-NO<sub>2</sub>). <sup>1</sup>H-ЯМР-спектр (δ, м.д): 9.03 (1H, ушир. с, NH), 7.98 (1H, д, J = 13.2 Гц, -CH=CH-NO<sub>2</sub>), 7.46  $(1H, д, J = 13.2 \Gamma ц, -CH=CH-NO<sub>2</sub>), 7.13 (1H,$ м), 6.81 (1H, м), 6.40 (1H, м) (СН пиррола).

**2-(2-Нитроэтил)пиррол** (V). 2-(2-транс-Нитровинил) пиррол **IV**  $(0.5 \, \Gamma, \, 3.6 \, \text{ммоль})$ растворяют в 33 мл смеси безводных растворителей  $T\Gamma\Phi$  – метанол, 10:1 охлаждении до 0°C в атмосфере аргона. К прибавляют раствору порциями при охлаждении боргидрид натрия (0.51 г, 13.4 ммоль) так, чтобы не происходило разогрева реакционной смеси. Реакционную перемешивают при комнатной температуре 2 ч, нейтрализуют 1 н. уксусной кислотой, промывают водой (100 мл) до нейтральной среды, экстрагируют хлористым метиленом (3×100 мл). Органическую фазу отделяют, сушат Na<sub>2</sub>SO<sub>4</sub>, растворитель удаляют в вакууме. Остаток подвергают хроматографической очистке на колонке (20×150 мм) с силикагелем. элюируя системой растворителей гексан - CH<sub>2</sub>Cl<sub>2</sub>, 1.5:1 - 1:1. Продукт собирают в виде оранжевого масла. Выход: 0.313 г (62.6%).  $R_f$  0.41 (Г). ИК-спектр (KBr, v,  $cm^{-1}$ ): 3422 (NH), 1545.5 (-NO<sub>2</sub>), 1430 (-CH<sub>2</sub>-), 1381 (-NO<sub>2</sub>). <sup>1</sup>H-ЯМР-спектр (δ, м.д): 8.17 (1Н, ушир. с, NН), 6.72 (1Н, м), 6.15 (1Н, м), 6.02 (1H, м) (СН пиррола), 4.61 (2H, т, J =6.6 Гц, -CH<sub>2</sub>-CH<sub>2</sub>-NO<sub>2</sub>), 3.33 (2H, т, J = 6.6 Гц, -CH<sub>2</sub>-CH<sub>2</sub>-NO<sub>2</sub>).

1-(2-Пирролил)-2-нитро-3,3-диметил-5гексанон (VI). К раствору 2-(2-нитроэтил)пиррола V (0.939 г, 6.7 ммоль) в 44 мл абсолютного бензонитрила прибавляют окись мезитила (3.83 мл, 33.5 ммоль) и фторид цезия (5.80 г, 38.2 ммоль, 5.7 экв), предварительно прокаленный в вакууме в течение 1 ч при 100 °С. Реакционную смесь перемешивают в течение 16 ч при 70°C (ход реакции контролируют ТСХ), после чего растворитель удаляют в вакууме, остаток пропускают через слой (25×35 мм) окиси алюминия II степени активности, элюируя CH<sub>2</sub>Cl<sub>2</sub>. После удаления в вакууме растворителя, остаток подвергают хроматографической очистке на колонке (20×150 мм) с окисью алюминия II степени активности, элюируя системой гексан - $CH_2Cl_2$  с увеличением полярности от 4:1 до 2 : 1. Собирают фракцию с  $R_f$  0.38 (Г), 0.4 (Д) и перекристаллизовывают из смеси гексан -СH<sub>2</sub>Cl<sub>2</sub>. Выход: 0.878 г (55%). Т. пл. 54-56 °C (54-55 °C [10]). ИК-спектр (KBr, v, см<sup>-1</sup>): 3397 (NH), 1712 (CO), 1547 (-NO<sub>2</sub>), 1368 (-NO<sub>2</sub>). <sup>1</sup>H-ЯМР-спектр (δ, м.д): 8.12 (1H, ушир. с, NH), 6.66 (1H, м), 6.10 (1H, м), 5.99 (1H, м) (СН пиррола), 5.13 (1H, дд, J = 11.8  $\Gamma$ ц, J = 2.5  $\Gamma$ ц, СНNO<sub>2</sub>), 3.35 (1H, дд, J = 15.6  $\Gamma$ ц, J = 11.8  $\Gamma$ ц), 3.04 (1H, дд, J = 15.6  $\Gamma$ ц, J = 2.5  $\Gamma$ ц) (С $\underline{H}_2$ СНNO<sub>2</sub>), 2.61 (1H, д, J = 17.4  $\Gamma$ ц), 2.42 (1H, д, J = 17.4  $\Gamma$ ц) (С $\underline{H}_2$ СОСН<sub>3</sub>), 2.15 (3H, с, СОСН<sub>3</sub>), 1.26 (3H, c), 1.13 (3H, c) (С(СН<sub>3</sub>)<sub>2</sub>).

1,3,3-Триметил-2,3-дигидродипирролилметен (VII). К раствору соединения VI (0.1 г, 0.42 ммоль) в 4 мл абсолютного ТГФ прибавляют раствор метилата натрия (0.11 г, 2.1 ммоль) в метаноле и перемешивают при комнатной температуре в атмосфере аргона 1 ч до образования нитронат-аниона. К раствору хлорида титана (>10 вес.% TiCl<sub>3</sub> в 20-30 вес.% НСІ, 3.16 мл, 2.1 ммоль, 5 мол. экв.) прибавляют 17 мл воды, ацетат аммония до рН 6 и 1 мл ТГФ. Затем раствор нитронатаниона в ТГФ добавляют к буферному раствору TiCl<sub>3</sub> и перемешивают при комнатной температуре 3 ч. Реакционную смесь выливают в 15 мл CH<sub>2</sub>Cl<sub>2</sub>, промывают раствором гидрокарбоната натрия, потом водой. Органическую фазу отделяют, сушат Na<sub>2</sub>SO<sub>4</sub>, растворитель удаляют в вакууме. подвергают хроматографической очистке на колонке (15×150 мм) с нейтральной окисью алюминия, элюируя системой растворителей CH<sub>2</sub>Cl<sub>2</sub>-MeOH, 60:1. Продукт собирают в виде коричневого масла. Выход: 29.7 мг (37.5%).  $R_f$  0.36 (В). ИК-спектр (КВг,  $\nu$ , cm<sup>-1</sup>): 3385 (NH), 2947 (CH), 1690 (C=N), 1567, 1379 (C=C). <sup>1</sup>H-ЯМР-спектр (δ, м.д): 8.83 (1H, ушир. с, NH), 6.67 (1H, м), 6.10 (1H, м), 5.97 (1Н, м) (СН пиррола), 5.72 (1Н, с, мезо-Н), 1.90 (1H, д,  $J = 14 \Gamma$ ц), 1.76 (1H, д,  $J = 14 \Gamma$ ц)  $(CH_2C(CH_3)_2)$ , 1.53 (3H, c, CH<sub>3</sub>), 1.23 (3H, c),  $1.17 (3H, c) (C(CH_3)_2).$ 

## ЛИТЕРАТУРА:

- 1. Коновалова, Н. В. Синтетические молекулярные системы на основе порфиринов как модели для изучения переноса энергии при фотосинтезе / Н. В. Коновалова, Р. П. Евстигнеева, В. Н. Лузгина // Успехи химии. 2001. Т. 70, № 11. С. 1059–1093.
- 2. D'Souza, F. Photoinduced electron transfer in supramolecular systems of fullerenes functionalized with ligands capable of binding zinc porphyrins and zinc phthalocyanines / F. D'Souza, O. Ito // Coord. Chem. Rev. 2005. Vol. 249. P. 1410–1422.
- 3. Burrell, A. K. Porphyrin-based nanostructures: routes to molecular electronics / A. K. Burrell, M. R. Wasielewski // J. Porphyrins Phthalocyanines. 2000. Vol. 4, № 4. P. 401–406.
- 4. Gust, D. Molecular mimicry of photosynthetic energy and electron transfer / D. Gust, T. A. Moore, A. L. Moore // Acc. Chem. Res. 1993. Vol. 26. P. 198–205.
- 5. Osuka, A. A chemical approach towards the photosynthetic reaction center / A. Osuka, N. Mataga, T. Okada // Pure Appl. Chem. 1997. Vol. 69, № 4. P. 797–802.
- 6. Fukuzumi, S. Bioinspired electron-transfer systems and applications / S. Fukuzumi // Bull. Chem. Soc. Jpn. − 2006. − Vol. 79, № 2. − P. 177–195.

- 7. Imahori, H. Porphyrin–fullerene linked systems as artificial photosynthetic mimics / H. Imahori // Org. Biomol. Chem. 2004. Vol. 2. P. 1425–1433.
- 8. Schuster, D. I. Porphyrin–fullerene photosynthetic model systems with rotaxane and catenane architectures / D. I. Schuster, K. Li, D. M. Guldi // C. R. Chimie. 2006. Vol. 9. P. 892–908.
- 9. Jiang, L. The progress on design and synthesis of photoactive porphyrin-based dyads, triad and polymers / L. Jiang, Y. Li // J. Porphyrins Phthalocyanines. 2007. Vol. 11, № 5-6. P. 299–312.
- 10. Rational synthesis of *meso*-substituted chlorin building blocks / J.-P. Strachan, D. F. O'Shea, T. Balasubramanian, J. S. Lindsey // J. Org. Chem. 2000. Vol. 65, № 10. P. 3160–3172.
- 11. Battersby, A. R. Synthetic studies relevant to biosynthetic research on vitamin  $B_{12}$ . Part 7. Synthesis of ( $\pm$ )-Bonellin dimethyl ester / A. R. Battersby, C. J. Dutton, C. J. R. Fookes // J. Chem. Soc., Perkin Trans. 1. 1988. P. 1569–1576.
- 12. Refined synthesis of 5-substituted dipyrromethanes / B. J. Littler [et al.] // J. Org. Chem. 1999. Vol. 64. P. 1391-1396.
- 13. Efficient synthesis of monoacyl dipyrromethanes and their use in the preparation of sterically unhindered *trans*-porphyrins / P. D. Rao [et al.] // J. Org. Chem. 2000. Vol. 65. P. 1084–1092.
- 14. Беллами, Л. Инфракрасные спектры молекул / Л. Беллами. М.: Изд-во иностранной литературы, 1957.-444 с.
- 15. Наканиси, К. Инфракрасные спектры и строение органических соединений / К. Наканиси. М.: Мир, 1965. 165 с.
- 16. Synthetic approaches to regioisomerically pure porphyrins bearing four different *meso*-substituents / C.-H. Lee [et al.] // Tetrahedron. 1995. Vol. 51, № 43. P. 11645–11672.
- 17. Общая органическая химия. Т. 6. / Ред. Н. К. Кочетков,  $\,$  Ю. Н. Бубнов. М. : Химия,  $\,$  1984. 329 с.
- 18. Shechter, H. Nitroalkane from conjugated nitroalkenes by reduction with complex hydrides / H. Shechter, D. E. Ley, E. B. Roberson // J. Am. Chem. Soc. 1956. Vol. 78. P. 4984–4989.
- 19. Преч, Э. Определение строения органических соединений. Таблицы спектральных данных / Э. Преч, Ф. Бюльманн, К. Аффольтер. М.: Мир; БИНОМ. Лаборатория знаний, 2006. 438 с.
- 20. Synthesis of *meso*-substituted chlorines via tetrahydrobilene-*a* intermediates / M. Taniguchi [et al.] // J. Org. Chem. 2001. Vol. 66. P. 7342–7354.